

## مقاله پژوهشی

مجله علمی دانشگاه علوم پزشکی رفسنجان

سال اول، جلد ۱، شماره دوم، ۱۳۸۱

# تعیین جهش در آگزون‌های شماره ۵ و ۸ ژن P<sub>53</sub> در مبتلایان به سرطان پستان فامیلی با روش غیر رادیواکتیو PCR-SSCP

محمد رضا میرزایی<sup>۱</sup>، پروین مهدی پور<sup>۲</sup>، مرتضی عطری<sup>۳</sup>، حسین تیموری<sup>۴</sup>، غلامرضا اسدی کرم<sup>۵</sup>

### خلاصه

سابقه و هدف: سرطان پستان شایع‌ترین سرطان زنان در دنیا می‌باشد و تغییرات ژنتیکی متنوعی را می‌توان در آن مشاهده کرد یکی از شایع‌ترین این تغییرات، جهش در ژن P<sub>53</sub> است. این ژن یکی از مهمترین مهارکننده‌های تومور می‌باشد و پروتئین مزبور (P<sub>53</sub>) در بسیاری از اعمال یاخته نقش دارد. این ژن شامل ۱۱ آگزون است که آگزون‌های چهارگانه ۵ تا ۸ نواحی مرکزی پروتئین که عملکرد P<sub>53</sub> را به عهده دارد کد می‌کنند. بنابراین جهش‌های این آگزون‌ها از اهمیت بیشتری برخوردار بوده و باعث غیرفعال شدن یا سوء عملکرد این پروتئین می‌شود. تعیین جهش‌های این ژن کمک بزرگی در شناخت سازوکار ژنتیکی شروع و پیشرفت سرطان پستان و در نتیجه تشخیص و درمان به موقع این سرطان می‌نماید. هدف این مطالعه تعیین جهش‌های P<sub>53</sub> در دو آگزون شماره ۵ و ۸ این ژن بوده است.

مواد و روش‌ها: در این مطالعه ۳۲ بیمار مبتلا به سرطان پستان فامیلی که تحت عمل بیوپسی پستان قرار گرفته بودند، مورد بررسی قرار گرفتند. استخراج DNA با روش فنل - کلروفورم، انجام و پس از تعیین درجه خلوص با روش اسپکتروفتومتری، جهت تکثیر آگزون‌های شماره ۵ و ۸ از روش |polymerase chain reaction (PCR)| استفاده گردید. با روش SSCP (single strand conformation polymorphism) که روش معمول تعیین جهش برای ژن P<sub>53</sub> می‌باشد، محصولات تک رشته‌ای (Single strand) آگزون‌های مزبور در ژل پلی‌اکریل آمید الکتروفورز و توسط روش نیترات نقره رنگ آمیزی گردید نهایتاً تغییرات حرکتی باندهای حاصله با نمونه کنترل (طبیعی) مقایسه و مورد تجزیه و تحلیل قرار گرفت.

یافته‌ها: پس از آنالیز ژل‌های SSCP و مقایسه حرکت باندهای حاصله در ژل با نمونه کنترل، در آگزون شماره ۵ دو مورد و در آگزون شماره ۸ چهار مورد جهش تعیین گردید.

نتیجه‌گیری: در این مطالعه به علت محدود بودن تعداد بیماران و محدودیت زمان انجام تحقیق تنها جهش‌های ژن P<sub>53</sub> در دو آگزون شماره ۵ و ۸ بیماران مبتلا به سرطان پستان فامیلی بررسی شد. لذا پیشنهاد می‌گردد این جهش‌ها در دیگر آگزون‌ها و در مقیاس بزرگتر بررسی گردد.

واژه‌های کلیدی: سرطان پستان فامیلی، جهش، ژن P<sub>53</sub>، PCR-SSCP

۱- مربی و عضو هیئت علمی گروه بیوشیمی - ژنتیک دانشکده پزشکی رفسنجان (نویسنده مسئول)

۲- دانشیار و عضو هیئت علمی گروه ژنتیک دانشکده بهداشت دانشگاه علوم پزشکی تهران

۳- استادیار انکولوژی مؤسسه سرطان بیمارستان امام خمینی تهران

۴- مربی و عضو هیئت علمی گروه بیوشیمی - ژنتیک دانشکده پزشکی گرگان

۵- استادیار و عضو هیئت علمی گروه بیوشیمی - ژنتیک دانشکده پزشکی رفسنجان

## مقدمه

سازوکار ژنتیکی سرطان پستان می تواند در طراحی تست های غربالگری، تشخیص های کلینیکی و ارائه الگوی توارثی این سرطان راهگشا باشد. در این مطالعه جهش های ژن P53 در دو آگزون با اهمیت این ژن (آگزون های شماره ۵ و ۸) در ۳۲ بیمار مبتلا به سرطان پستان فامیلی مورد بررسی قرار گرفت.

## مواد و روش ها

در این مطالعه توصیفی-تحلیلی تعداد ۳۲ بیمار مبتلا به سرطان پستان با سابقه فامیلی ابتلاء به سرطان در شجره نامه که به مؤسسه سرطان (انستیتو کانسر) بیمارستان امام خمینی تهران مراجعه و تحت عمل بیوپسی قرار گرفته بودند، مطالعه شدند.

نمونه های لازم که بافت بیوپسی پستان بودند به صورت بلوک های پارافینه پاتولوژیکی و یا قسمت کوچکی از بافت تازه بیوپسی شده بیماران به آزمایشگاه ژنتیک دانشکده بهداشت دانشگاه تهران ارسال شد.

با روش معمول فنل، کلروفرم، استخراج DNA انجام گرفت بدین ترتیب که پس از پارافینه زدایی برش های بلوک پاتولوژیکی و یا خرد کردن بافت های تازه، آنها را در لوله آزمایش ریخته و به هر لوله آزمایش ۱/۵ میلی لیتر با فرلیز کننده (EDTA ۱۰ mM, NaCl ۱۰۰ mM, Tris-HCl ۱۰۰ mM)، ۱۰ SDS ۰/۱ ml درصد و ۲۰ μl پروتئیناز K (۲۵ mg/ml) اضافه به مدت ۲۴-۱۶ ساعت در ۴۸°C انکوبه می گردید. پس از این مدت به هر لوله ۱/۵ میلی لیتر فنل به تعادل رسیده با Tris-HCl افزوده و پس از مخلوط کردن و سانتریفوژ (دور ۴۰۰۰ به مدت ۱۲ دقیقه) محلول بالایی (supernatant) جدا و مجدداً توسط فنل (یکبار) و مخلوط کلروفرم ایزوآمیل الکل (۱:۲) دوبار شستشو می گردید. مجدداً پس از سانتریفوژ محلول بالایی جدا و به نسبت دو برابر حجم آن اتانل ۹۶ درصد و به نسبت ۰/۱ حجم آن استات سدیم (۳M) اضافه و سپس به مدت ۲۴-۱۶ ساعت در ۲۰°C نگهداری و پس از آن سانتریفوژ می گردید.

سرطان پستان شایع ترین سرطان زنان است که شیوعی بین ۱۲-۸ درصد در مناطق مختلف جغرافیایی دارد [۱]. در این سرطان تغییرات مختلف سیتوژنتیکی و جهش های ژنی را می توان مشاهده کرد که بارزترین اختلال مشاهده شده در سطح سیتوژنتیکی حذف منطقه کروموزومی P13 کروموزوم شماره ۱۷ است که این جایگاه، محل فیزیکی ژن مهار کننده تومور یعنی P53 است [۱۷، ۱۴، ۸]. مولکول P53 در بسیاری از اعمال حیاتی سلول از جمله تنظیم کپی برداری، تنظیم همانند سازی، تنظیم سیکل سلولی و مرگ برنامه ریزی شده سلول نقش اساسی دارد [۱۶، ۷، ۵].

ژن P53 با طول ۲۰ kbp در جایگاه ۱۳/۱ p (بازوی کوتاه کروموزوم شماره ۱۷) قرار داشته که شامل ۱۱ آگزون بوده و mRNA آن پس از ترجمه پروتئینی با وزن مولکولی ۵۳ کیلو دالتون شامل ۳۹۳ اسید آمینه را کد می نماید [۶].

آگزون شماره ۱ و قسمت اعظم آگزون شماره ۱۱ کدکننده نمی باشند. ۵ منطقه حفاظت شده در این ژن قرار دارد که مناطق II-V آگزون های شماره ۵ تا ۸ را شامل شده و بیش از ۹۰ درصد جهش های این ژن در این مناطق رخ می دهند [۱۱، ۱۲، ۱۳]. تعدادی از کدها به طور شاخص در سرطان های مختلف بیشتر متحمل جهش می شوند که این کدها را مناطق داغ جهش زا (hot spots) می گویند. علاوه بر جهش نقطه ای، حذف آلی P53 نیز در برخی موارد سرطان پستان گزارش شده است به طوری که افراد مبتلا به سندروم لی-فرامننی (Li-Fraumeni) که یکی از آلل های P53 در این افراد به طور زایشی جهش یافته یا حذف شده است چندین برابر افراد طبیعی مستعد ابتلاء به سرطان های مختلف خصوصاً سرطان پستان می باشند [۱۵، ۹].

جهش در ژن P53 به عنوان کلید شروع سرطان پستان (بویژه نوع فامیلی آن) قلمداد می گردد [۲]. این جهش ها توزیع جغرافیایی خاصی داشته به طوری که در بعضی مناطق تا ۸۰ درصد موارد سرطان پستان با جهش در این ژن همراه است [۴]. با توجه به اهمیت موضوع و اینکه شناخت

PCR به منظور تک رشته‌ای شدن به مدت ۵ دقیقه در  $95^{\circ}\text{C}$  قرار گرفتند و سپس بلافاصله به ظرف یخ منتقل گردیدند. از ژل پلی آکریل آمید ۱۰ درصد در سیستم الکتروفورز عمودی برای انجام SSCP استفاده گردید. بدین منظور ۵ میکرولیتر محصول PCR و ۵ میکرولیتر بافر SSCP (فرمامید ۹۵ درصد، هیدروکسید سدیم ۰.۱۰mM، برموفنیل بلو ۰/۰۵ درصد و گزلین سیانول ۰/۰۵ درصد) با هم مخلوط و به چاهک‌های ژل اضافه و الکتروفورز انجام شد (۱۵ ساعت با ولتاژ ۷۰ و در بافر  $\times 0.6$  TBE).

رنگ آمیزی ژل با روش نترات نقره انجام گرفت بدین صورت که ژل در محلول A (اتانل ۱۰ درصد و اسید استیک ۰/۵ درصد) به مدت ۵ دقیقه قرار داده شد سپس به مدت ۱۰ دقیقه به محلول B (نیترات نقره ۰/۱ درصد) انتقال یافت سپس تا ظاهر شدن باندهای ژل در محلول C (۹/۴ میلی لیتر (۱۰N) NaOH، ۲۵ میلی لیتر (۱ درصد)  $\text{NaBH}_4$  و یک میلی لیتر فرمالدئید در حجم ۲۰۰ میلی لیتر) نگهداری و نهایتاً ژل به مدت ۵ دقیقه در محلول D (بی‌کربنات سدیم ۰/۷۵ درصد) قرار داده شد و پس از شستشو با آب مقطر باندها مورد بررسی و آنالیز قرار گرفتند.

### نتایج

مشخصات هیستوپاتولوژیکی تومور، سن و جنس بیماران در جدول ۱ نشان داده شده است. تمامی بیماران دارای سابقه ابتلاء به سرطان در خانواده بودند. از ۳۲ بیمار دارای سرطان پستان مورد مطالعه ۶/۲۵ درصد بیماران مرد و ۹۳/۷۵ درصد زن، ۱۶/۱ درصد سن زیر ۳۲ سال و ۸۳/۹ درصد سن بالای ۳۲ سال و ۴۵/۱ درصد دچار درگیری غدد لنفاوی نیز بودند.

تشخیص پاتولوژیک بیماری در ۸۷/۵ درصد، invasive ductal carcinoma (Inv.D.C) ۹/۳۷ درصد، invasive Lobular carcinoma (Inv.L.C) ۳/۱ درصد، infiltrating ductal carcinoma (Inf.D.C) درجه تفکیک و تمایز تومور در ۵۸/۶ درصد درجه III و بقیه

رسوب DNA جدا و سه بار توسط اتانل ۷۵ درصد شستشو و نهایتاً رسوب DNA در بافر (Tris- Hcl 10mM, EDTA-) (100mM TE) حل می‌شد.

پس از تعیین درجه خلوص DNA با روش اسپکتروفتومتری (نسبت جذب نوری در ۲۶۰ به ۲۸۰ نانومتر) جهت تکثیر آگزون‌های مورد نظر از روش PCR استفاده گردید. پرایمرهای استفاده شده برای آگزون شماره ۵ رشته‌های رهبر و پیرو به ترتیب

$5' \text{GACTTTCAACCTCTGTCTCCT3'}$  و

$5' \text{CTGGGGACCCTGGGGAACCA3'}$  و پرایمرهای استفاده شده آگزون شماره ۸ برای رشته‌های رهبر و پیرو به ترتیب

$5' \text{CCTTACTGCCTCTTGCTTC3'}$  و

$5' \text{TGAATCTGAGGCATAATCTGC}$  بودند که بر

اساس توالی ۲۰ نوکلئوتید سمت ۳' و ۵' آگزون‌های مورد نظر طراحی و ساخته شده بودند. ۵۰ میکرولیتر مخلوط واکنش PCR شامل ۳۰Pmol از هر پرایمر، ۲۵۰  $\mu\text{M}$  از هر

نوکلئوتید (dNTP)، ۱۰۰ ng DNA ژنومیک و یک واحد آنزیم DNA پلیمراز Taq در بافر PCR تهیه و به هر

میکروتیوب PCR اضافه گردید. PCR در دو مرحله انجام شد بدین ترتیب که برای آگزون شماره ۵ مرحله اول با

شرایط  $94^{\circ}\text{C}$  (۳ دقیقه) و  $54^{\circ}\text{C}$  (۱ دقیقه) و  $72^{\circ}\text{C}$  (۱ دقیقه) برای سه سیکل و مرحله دوم برای ۳۲ سیکل با

شرایط  $94^{\circ}\text{C}$ ،  $54^{\circ}\text{C}$  و  $72^{\circ}\text{C}$  هر کدام یک دقیقه انجام گردید. برای آگزون شماره ۸ مرحله اول در سه سیکل با

شرایط  $94^{\circ}\text{C}$  به مدت ۲ دقیقه و  $55^{\circ}\text{C}$  و  $72^{\circ}\text{C}$  هر کدام یک دقیقه و برای ۳۲ سیکل مرحله دوم شرایط  $94^{\circ}\text{C}$ ،  $55^{\circ}\text{C}$  و

$72^{\circ}\text{C}$  هر کدام به مدت یک دقیقه انجام شد. به منظور اطمینان از انجام موفق PCR محصولات در ژل آگاروز ۲

درصد و در بافر (M, Buric ۰/۴۴۵ M, EDTA ۰/۵ M TBE) Acid ۰/۴۴۵ (Tris-base) الکتروفورز گردید.

جهت انجام SSCP، محصولات PCR نمونه‌های مختلف مطابق روش زیر در ژل پلی آکریل آمید الکتروفورز

و تعیین جهش گردیدند. بدین ترتیب که ابتدا محصولات

۳۷/۵ درصد بیماران مساوی یا بیشتر از ۳ و در بقیه موارد

درجه I-II ۴۴ درصد درگیری پستان سمت راست و ۵۶

کمتر از ۳ می باشد.

درصد درگیری پستان سمت چپ داشتند. قطر تومور در

جدول ۱: مشخصات هیستوپاتولوژی، سن، جنس و سابقه فامیلی ابتلاء به سرطان ۲۲ بیمار مبتلا به سرطان پستان

شماره بیمار	جنس	سن	نوع تومور	قطر تومور Cm	درجه تمايز	درگیری غدد لنفوی	پستان درگیر	سابقه خانوادگی
۱	F	۲۳	inv.D.C	۲	III	+	L	+
۲	F	۴۳	inv.D.C	۱/۳	II	+	R	+
۳	F	۳۸	inv.D.C	۴/۵	III	-	L	+
۴	M	?	inv.D.C	۲	?	-	L	+
۵	F	۴۰	inv.D.C	۱/۳	?	+	R	+
۶	F	۳۴	inv.D.C	۲/۵	III	+	L	+
۷	F	۴۵	inv.D.C	۲/۵	III	-	R	+
۸	F	۵۶	inv.D.C	?	III	+	R	+
۹	M	۷۵	inv.D.C	?	?	?	R	+
۱۰	F	۵۰	inv.D.C	۱/۵	III	-	R	+
۱۱	F	۴۴	inv.D.C	?	I-II	-	R	+
۱۲	F	۵۰	inv.D.C	۲/۵	II-III	-	L	+
۱۳	F	۵۳	inv.D.C	۱	II-III	-	L	+
۱۴	F	۴۲	inv.D.C	۲/۵	III	-	L	+
۱۵	F	۴۸	inv.D.C	۳	II-III	-	L	+
۱۶	F	۳۰	inv.D.C	?	II-III	-	L	+
۱۷	F	۴۰	F	۴	II-III	-	R	+
۱۸	F	۶۷	inv.D.C	۲/۵	II-III	-	R	+
۱۹	F	۶۵	inv.D.C	۲	III	-	R	+
۲۰	F	۴۲	inv.D.C	۴	II	-	L	+
۲۱	F	۴۸	inv.D.C	?	II	-	R	+
۲۲	F	۴۵	inv.D.C	?	III	-	R	+
۲۳	F	۳۴	inv.D.C	?	II	-	L	+
۲۴	F	۳۸	inv.D.C	۲	III	-	L	+
۲۵	F	۳۶	inv.D.C	۲/۲	III	-	R	+
۲۶	F	۴۱	inv.D.C	۱/۹	III	-	L	+
۲۷	F	۳۴	inv.D.C	۷/۵	III	-	L	+
۲۸	F	۷۵	inv.D.C	۷	III	+	L	+
۲۹	F	۷۲	inv.D.C	۳	II	-	L	+
۳۰	F	۴۹	inv.D.C	۳/۵	II	-	R	+
۳۱	F	۵۲	inv.D.C	?	?	-	R	+
۳۲	F	۳۶	inv.D.C	۳/۵	III	+	R	+

F : Female, M: Male, inv. D.C: Invasive Ductal Carcinoma, inv. L.C: invasive Lobular Carcinoma, inf.D.C: infiltrating Ductal Carcinoma, L: Left, R: Right.

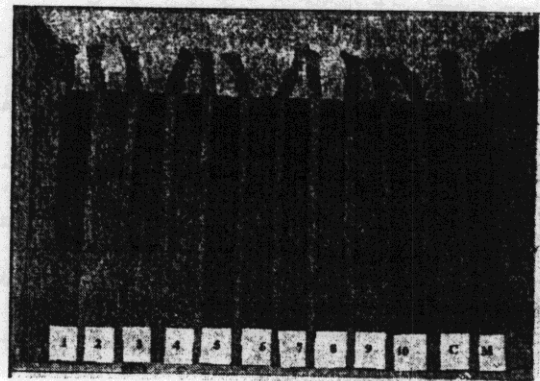
پاتولوژیک ( $P=0/27$ )، درجه تمایز تومور ( $P=0/3$ ) و درگیری پستان سمت راست یا چپ ( $P=0/37$ ) در حد معنی‌داری نبود.

### بحث

این پژوهش بخشی از یک طرح تحقیقاتی کلی می‌باشد که به منظور تعیین جهش‌های ژن  $P_{53}$  در مبتلایان به سرطان پستان فامیلی در جامعه ایرانی توسط وزارت بهداشت و درمان تصویرب شده بود. نتیجه این پژوهش نشان داد که در ۳۲ بیمار مبتلا به سرطان پستان فامیلی مطالعه شده در آگزون شماره ۵ دو جهش ( $6/25$  درصد) و در آگزون شماره ۸ چهار جهش ( $12/5$  درصد) اتفاق افتاده است. در مطالعات قبلی میزان جهش تعیین شده برای آگزون شماره ۵ در مبتلایان به سرطان پستان فامیلی در جوامع مختلف، متفاوت بوده است، بطوری که بر اساس مطالعات گزارش شده در بخشی از جامعه ژاپن آن را ۷ درصد [۱،۱۲]، در جامعه هلند ۱۷ درصد [۴] و در استرالیا ۱۲ درصد [۱۰] اعلام نموده‌اند. در مورد آگزون شماره ۸ در بخشی از جامعه ژاپن میزان جهش آن را در مبتلایان به سرطان پستان فامیلی ۲۸ درصد [۱،۱۲] و در بخش دیگری از جامعه ژاپن ۵/۲ درصد [۱،۱۲] و در بخشی از جامعه استرالیا ۲۴ درصد [۱۰] و در هلند ۱۷ درصد [۴] گزارش کرده‌اند.

بنابراین فراوانی جهش‌های  $P_{53}$  در سرطان پستان توزیع جغرافیایی دارد و می‌توان نتیجه‌گیری نمود عوامل محیطی که در اتیولوژی سرطان پستان نقش دارند بر نحوه جهش‌زایی ژن‌ها نیز مؤثرند. برای مثال در شمال ژاپن میزان کل جهش  $P_{53}$  در مبتلایان به سرطان پستان ۸۱ درصد در حالی که در جنوب این کشور این میزان، ۲۱ درصد گزارش شده است [۱،۱۲]. بنابراین با توجه به وجود قومیت‌های مختلف در ایران اولاً لازم است میزان جهش‌ها در جامعه ایرانی و ثانیاً در اقوام مختلف (همانند بسیاری از کشورها) به طور دقیق تعیین گردد.

استخراج DNA بطور موفقیت‌آمیزی انجام گرفت و نتیجه تعیین درجه خلوص DNA (نسبت جذب نوری در  $260\text{nm}/280\text{nm}$ ) در تمامی موارد در حد قابل قبول ( $1/3-1/7$ ) بود. برای اطمینان از انجام PCR، محصولات PCR در آگاروز ۱ درصد الکتروفورز شده و نهایتاً الکتروفورز SSCP روی محصولات PCR انجام گردید (شکل ۱).



شکل ۱: نمونه ژل SSCP آگزون شماره ۵ ژن  $P_{53}$ . نمونه‌های ۱ و ۲ حرکتی متمایز از دیگر نمونه‌ها و نمونه کنترل داشته جهش تلقی می‌شود M: Marker و C: Control

شکل ۱، نمونه‌ای از الکتروفورز SSCP آگزون شماره ۵ پس از رنگ‌آمیزی با نیترات نقره می‌باشد. باندهای شماره ۲ و ۹ که متعلق به دو بیمار مبتلا به سرطان پستان فامیلی می‌باشند، بطور مشخصی حرکت متفاوتی از نمونه کنترل و نیز نمونه‌های دیگر بیماران دارند که نشان دهنده تغییر نوکلئوتیدی (موتاسیون نقطه‌ای) در این دو بیمار می‌باشد. بالاخره نتیجه SSCP، ۳۲ بیمار مورد مطالعه نشان داد که در آگزون شماره ۵ دو مورد و در آگزون شماره ۸ چهار مورد جهش اتفاق افتاده است.

نتایج با آزمون آماری Fisher Exact جهت تعیین میزان ارتباط جهش‌های شناخته شده و فاکتورهای متعدد دخیل در سرطان پستان بررسی و مقایسه گردید. بین جهش در آگزون‌های شماره ۵ و ۸ ژن  $P_{53}$  و سن بیماران ارتباط معنی‌داری یافت نشد ( $P=0/52$ ) هم‌چنین ارتباط جهش‌های ذکر شده و درگیری غدد لنفاوی ( $P=0/75$ )، تشخیص

۹۰ درصد می باشد) [۳]. از این روش جهت تعیین جهش های ژن P53 استفاده گردید. برای حصول اطمینان قطعی از جهش باید محصولات PCR آگزون های جهش یافته در روش SSCP تعیین توالی شده و نوع تغییر نوکلوتیدی به طور دقیق مشخص گردد. اما در زمان انجام این طرح امکان این مرحله میسر نبود. به هر حال نتیجه این تحقیق میزان جهش های موجود در آگزون شماره ۵ و ۸ ژن P53 در ۳۲ بیمار مبتلا به سرطان پستان فامیلی مورد مطالعه را مشخص نمود اما با توجه به محدود بودن تعداد بیماران و رسالت این بخش از تحقیق که وظیفه تعیین جهش در همین تعداد بیماران را به عهده داشت جهت نتیجه گیری کلی، باید منتظر ارائه نتایج پایان طرح شد و با استفاده از نتایج مطالعات انجام شده در نقاط مختلف جغرافیایی جهان کدهای حساس به جهش (hot spots) شناسایی شده و در طراحی تست های غربالگری و تشخیص های کلینیکی استفاده گردد.

مطالعه جهش های P53 توسط تکنیک های مختلف انجام می گیرد که متداولترین آنها عبارتند از شکست RNA's، الکتروفورز ژل با شیب واسرشتی (Denaturant gradient get electrophoresis)، برش شیمیایی جفت شدگی ناجور (chemical cleavage of mismatch)، تجزیه و تحلیل هترو و دوبلکس، آزمایش پروتئین ناقص شده و چند شکلی فضایی تک رشته ای (SSCP). از این میان روش PCR-SSCP متداولترین روشی است که جهت تعیین جهش های ژن P53 توسط محققین استفاده می شود [۳]. اساس این روش آن است که در قطعات با طول کمتر از ۳۰۰ جفت باز چنانچه، حتی یک نوکلوتید نسبت به حالت طبیعی تغییر کرده باشد در شکل سه بعدی تک رشته ای DNA (Single strand) حرکتی متفاوت از حالت طبیعی در ژل خواهد داشت، با توجه به اینکه طول قطعات آگزون های مورد مطالعه کمتر از ۳۰۰ جفت باز بوده و نیز سادگی، سریع و ارزان بودن این روش و دقت بالای آن (میزان دقت روش مذکور جهت تعیین جهش

#### منابع

- cancer. *Proc Natl Acad Sci USA*, 1996; 88(9):572-585.
- [6] Davidoff AM and Humphrey PA, Genetic basis for P53 overexpression in human breast cancer *Proc Natl Acad Sci USA*.1991; 88(11):724-732
- [7] Ford D and Easton DF. The genetics of breast and ovarian cancer. *Br J Cancer*, 1995; 72 (4): 805-812.
- [8] Frebourg T, kassel J, lam KT. Germ- line mutation of the P53 Tumor supressor gene in patients with high risk for cancer inactivated to the P53 protein. *Proc Natl Acad sci USA* 1992; 89(14):1240-52.
- [9] Frebourg T and Barbier N. Germ-line P53 mutation in families with li-fraumeni syndrome. *Am J Hum Genet*. 1995; 56(3): 608-615.
- [۱] مهدی پور پ. جنبه های ژنتیک سرطان پستان چاپ اول، موسسه نشر کلمه، تهران، ۱۳۷۶؛ صفحات ۱۴۲-۱۳۹.
- [2] Bieche I, Lidereau R. Genetic alterations in breast cancer, *Gene chromosome cancer*, 1995; 14(2):227-251.
- [3] Behn M, Schuermann M. Sensitive detection of P53 gene mutant enriched PCR- SSCP technique. *Nucleic Acid Reserch*, 1998; 26(5): 1356-1358.
- [4] Beroud C, Verdier F, Soussi T. P53 gene mutation. *Nucleic Acid Research*, 1996; 24(3):147-250.
- [5] Chen A, Neubauer A, Kurisu W. Loos of heterozygosity on the short arm of chromosom 17 is associated with high proliferative capacity and DNA aneuploidy in primary human breayt

- [10] Greenblatt MS, Bennett WP, Hollstein M, Harris M. Mutations in the P53 tumor suppressor gene. *Cancer Reserch*, 1994; 54(18):4855-78.
- [11] Hartmann A and Blaszyk A. P53 gene mutation inside and outside of exons 5-8: The patterns differ in breast cancer. *Oncogene*, 1995; 10 (4):681-88.
- [12] Kleihues P and Schavble B. Tumors associated with P53 germ line mutations A synopsis of 91 families. *Am J Pathology*, 1997; 150:1-9.
- [13] Levine AJ, Momand J, Finalay CA. The P53 Tumour suppressor gene. *Nature* 1991; 351 (6326): 453-55.
- [14] Molina R, Segui MA, Climent MA. P53 on coprotein as a prognostic Indicator in patients with breast cancer. *Anti-Cacer Research*, 1998; 18(1B):507-512.
- [15] Moll UM, Riou G, levine AJ. Tow distinct Mechanisms alter P53 in breast cancer: mutation and nuclar exclusion. *Proc Natl Acad USA*, 1992; 89(15):1320-28.
- [16] Pdyak K, YongXia J, Kenneth W, etal. A model for P53- induced apoptosis. *Nature* 1997; 389: 300-305
- [17]Tornaleti S, Bates S, Gerd P. A high-resolution analysis of chromatin stucture along P53 sequences. *Molecular Carcinogenesis*, 1996; 17: 192-201.